

Robust Multi-Agent Path Finding and Executing

prezentace - František Dostál

MFF UK

2022

Obsah

Úvod

Metody robustního plánování

Experimenty a výsledky

Deklarativní přístup

Experimenty a výsledky podruhé

Vykonávání plánu

Závěr

Vynechané

Motivace článku

Zavedení pojmu k -robustnosti a prokázání validity tohoto konceptu.

Konflikt

- ▶ a_i - agent a_i
- ▶ $\pi_i(t)$ - pozice agenta a_i v čase t
- ▶ $\langle a_i, a_j, t \rangle$ - koflikt agentů a_i, a_j v čase t
- ▶ **vertex** conflict - 2 agenti, 1 uzel v čase t
- ▶ **swapping** conflict -
2 agenti, 1 hrana při přechodu z $t-1$ do t
- ▶ CBS - Conflict Based Search

CBS - Conflict Based Search

- ▶ low-level (A^*) a high-level solver (CT)
- ▶ ve větvi spustíme low-level solver.
- ▶ identifikujeme konflikt
- ▶ vyřešíme konflikt (přidáme constraint do následníků)
- ▶ $\langle a_i, v, t \rangle$ zákaz agenta a_i na pozici v v čase t

Zpoždění

- ▶ $D = \langle a_i, t \rangle$ - zpoždění agent a_i , v přechodu z času $t-1$ do t
- ▶ **k-zpožděný konflikt** (k-delay conflict) -
2 agenti, 1 uzel v rozmezí k časových jednotek
- ▶ **plán neobsahuje k-zpožděný konflikt** \Leftrightarrow **plán je k-robustní** (Pozorování 1)

Obsah

Úvod

Metody robustního plánování

Experimenty a výsledky

Deklarativní přístup

Experimenty a výsledky podruhé

Vykonávání plánu

Závěr

Vynechané

k-robustní MAPF

- ▶ kR-MAPF
- ▶ D - množina zpoždění
- ▶ plán π je robustní vůči $D \Leftrightarrow \pi$ je validní i po výskytu D
- ▶ **k-robustní plán** (k-robust) je plán robustní vůči $|D| \leq k$
- ▶ k-robustní plán je optimální pokud neexistuje k-robustní plán s menší cenou (cost)

Optimalita kR-MAPF

Lemma:

Pro všechna $k_1 < k_2$ platí, že cena optimálního k_1 -robustního plánu je menší nebo rovna ceně optimálního k_2 -robustního plánu.

- ⇒ trade-off robustnosti a ceny
- ⇒ k -robustnost je hard constraint

A* MAPF

- ▶ *n-agent state space*
 - stavy jsou rozmístění agentů na vrcholy grafu V .
- ▶ agent má akce pohybu a čekání
- ▶ akce je ve stavu aplikovatelná nebo ne (\longrightarrow konflikt)
 \Rightarrow upravíme aplikovatelnost akcí.

A* kR-MAPF

To ovšem nezaručuje optimalitu!

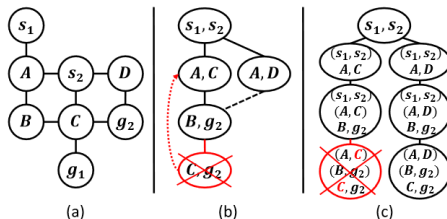


Figure 2: A MAPF problem (a) its search tree (b), and its k -robust search tree (c). The red lines show k -delay conflicts.

- ⇒ stav musí být určen i přes k provedených kroků
- ⇒ exponenciální růst stavového prostoru.

kR-CBS - Identifikace konfliktů

Z Pozorování 1 \Rightarrow kontrola k -zpožděných konfliktů.

- ▶ delší kontrola konfliktu
- ▶ polynomiální vůči k

kR-CBS - Oprava konfliktů

- ▶ pro každý k-delay konflikt $\langle a_i, a_j, t \rangle \longrightarrow 2$ uzly CT
- ▶ 1. uzel constraint a_j v $t + \Delta$
- ▶ 2. uzel constraint a_i v t
- ▶ sound, complete, optimal

IkR-CBS

- ▶ constraints v kR-CBS jsou slabší než by mohly být
- ▶ oprava konfliktů přidáním *range constraint* (intervalový constraint)
- ▶ **range constraint** = $\langle a_i, v, [t_1, t_2] \rangle$
- ▶ ne všechny range constraint musí zachovávat completeness a optimalitu

Definition 4.1 (Sound Range Constraints). A pair of range constraints for a given k -delay conflict is called *sound* iff every k -robust plan satisfies at least one of the constraints.

Proposition 4.1. If IkR-CBS resolves conflicts with sound pairs of range constraints then it is guaranteed to return an optimal k -robust plan if such exists.

IkR-CBS - Srovnání

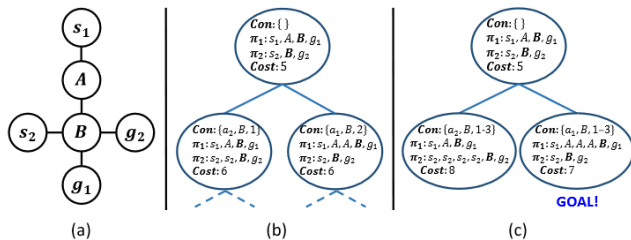


Figure 3: (a) The graph (b) The CT using the original time/vertex constraints (c) CT using the range constraints

IkR-CBS - hledání Sound RC

- ▶ symetrický pár constraints (SC) - oba agenti (uzly) mají zakázaný stejný interval $[t, t + k]$
- ▶ asymetrický pár constraints (AC) - zakázané intervaly mají různou délku
- ▶ AC - možná výpočetní výhoda
- ▶ kdo dostane kratší interval?

Corollary 4.2 (Symmetric range constraints). For any time step t , vertex v , and agents a_i and a_j , the range constraints $\langle a_i, v, [t, t + k] \rangle$, $\langle a_j, v, [t, t + k] \rangle$ are sound for solving a k -robust MAPF problem.

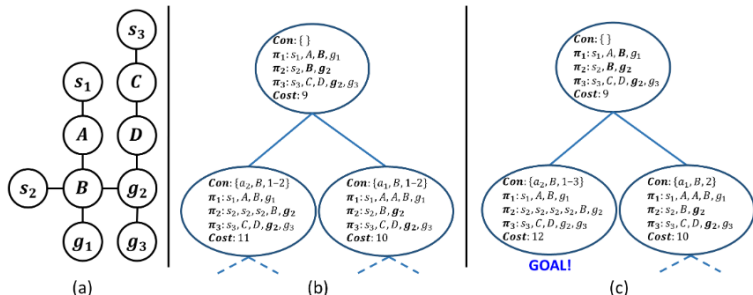


Figure 4: (a) The graph (b) The CT using the symmetric range constraints (c) CT using the asymmetric range constraints

SC(b) - 5 expanzí, AC(c) - 4 expanze

Obsah

Úvod

Metody robustního plánování

Experimenty a výsledky

Deklarativní přístup

Experimenty a výsledky podruhé

Vykonávání plánu

Závěr

Vynechané

Open Grid

- ▶ testy na mřížkách 8x8, 32x32, 64x64
- ▶ náhodně vybrané startovní a cílové body
- ▶ především srovnání upravených algoritmů
- ▶ nižší hustota agentů = stabilnější cena plánu

Open Grid - Výsledky

n	Plan cost			Plan time (ms)						
	k=0	k=1	k=2	k=0	k=1			k=2		
				All	KR	KR(A)	KR(S)	KR	KR(A)	KR(S)
4	22	22	22	6	17	15	16	229	130	79
6	31	31	32	5	25	26	21	1,087	416	97
8	40	41	43	7	29	24	21	2,535	1,007	219
10	49	51	54	42	166	126	80	22,986	7,261	895

Table 1: Average plan cost (over all 50 instances) and planning runtime for different CBS-based k -robust solvers, on an 8x8 open 4-neighborhood grid.

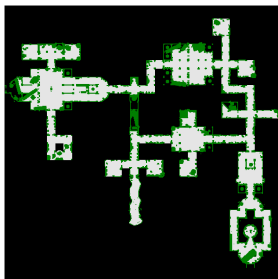
n	Plan cost			Plan time (ms)						
	k=0	k=1	k=2	k=0	k=1			k=2		
				All	KR	IKR(A)	IKR(S)	KR	IKR(A)	IKR(S)
4	176	176	177	11	10	13	11	11	14	16
6	259	259	259	13	17	17	17	23	22	22
8	338	339	339	44	56	55	54	70	70	69
10	413	413	414	53	710	107	68	740	130	81

Table 2: Average plan cost and planning runtime for different CBS-based k -robust solvers, on an 64x64 open 4-neighborhood

grid.

Dragon Age: Origins Mapa

- ▶ mapa z *movingai* repository
- ▶ náhodně vybrané startovní a cílové body
- ▶ 50 scénářů s 30 agenty, cesta nalezena pro 44 scénářů
- ▶ výsledné ceny se lišily minimálně - hodně prostoru
- ▶ potvrzuje výsledky předchozího experimentu



Zvyšování k na Grid domain

- ▶ mřížka 16x16
- ▶ srovnání výkonu při různých hodnotách k
- ▶ náhodně generovaných 50 problému pro daný počet agentů
- ▶ použít $IkR-CBS(S)$ - z předchozích testů nejlepší

Zvyšování k - Výsledky

	Success rate							
n	k=0	k=1	k=2	k=3	k=4	k=5	k=6	k=7
5	50	50	50	50	47	47	45	41
10	50	50	46	43	34	29	21	15
15	49	45	35	19	13	8	3	1

	Cost							
n	k=0	k=1	k=2	k=3	k=4	k=5	k=6	k=7
5	49	49	49	49	50	50	50	51
10	116	116	117	118	122			
15	163	164	166					

	Time (ms)							
n	k=0	k=1	k=2	k=3	k=4	k=5	k=6	k=7
5	5	7	7	34	58	344	1,231	9,210
10	12	1,683	36,142	53,944	93,559			
15	17	8,805	38,678					

Table 3: Number of instances solved within the allocated time out, average cost, and average planning time, on an 16x16 open 4-neighborhood grid.

Warehouse Domain

- ▶ experiment převzat z článku *Multi-Agent Path Finding with Delay Probabilities*
- ▶ náhodně vybrané startovní a cílové body
- ▶ použít *IkR-CBS(S)*
- ▶ potvrzuje výsledky předchozího experimentu

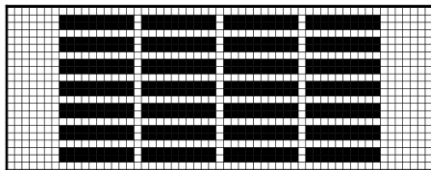


Figure 5: Warehouse domain, taken from Ma et al. (2017).

Warehouse Domain - Výsledky

#Agents	Cost			Time (ms)		
	k=0	k=1	k=2	k=0	k=1	k=2
5	148.43	148.54	148.71	110	110	116
10	297.33	297.80	298.58	1,042	1,176	1,570
15	435.76	436.80	438.58	1,816	2,058	12,746

Table 4: Average cost and planning runtime of k R-CBS on the warehouse domain.

Obsah

Úvod

Metody robustního plánování

Experimenty a výsledky

Deklarativní přístup

Experimenty a výsledky podruhé

Vykonávání plánu

Závěr

Vynechané

PICAT

- ▶ **Picat** - jazyk pro Constraint Programming
- ▶ problém lze převést na **SAT**, CP, MILP
- ▶ odkaz na model nefungoval... :(
- ▶ proměnná je určena trojicí agent, čas a pozice
- ▶ k-robustnost vynucená v rámci constraints

Obsah

Úvod

Metody robustního plánování

Experimenty a výsledky

Deklarativní přístup

Experimenty a výsledky podruhé

Vykonávání plánu

Závěr

Vynechané

Srovnání IkR-CBS vs. SAT

- ▶ Picat model zkompileován na SAT
- ▶ IkR-CBS používá symetrické RC
- ▶ optimalita obou algoritmů \rightarrow stejné ceny plánů

Grid 8x8

- ▶ srovnání času plánování
- ▶ 50 náhodných scénářů, 100% úspěšnost
- ▶ potvrzuje obecné předpoklady o přístupech založených na kompilaci

Obstacles	Cost		Planning time (ms)			
	k=1	k=2	k=1		k=2	
			CBS	Picat	CBS	Picat
12	35.16	36.30	1,511	1,026	454	1,805
16	39.24	40.68	4,142	1,401	6,572	2,590
19	39.67	42.47	3,362	1,506	8,727	3,235
22	34.20	36.91	6,979	1,439	14,042	3,104
25	28.26	29.52	9,834	1,206	12,957	1,813
32	16.28	18.73	95	322	1,488	810

Table 5: Solution cost and runtime results for 8x8 4-neighborhood grids with 6 agents, and a different number of obstacles.

Grid 32x32

- ▶ srovnání úspěšnosti
- ▶ 50 scénářů, 5 minutový limit řešení
- ▶ CBS citlivější na změny k a n

#Agents		10	15	20	25	30	35	40	45	50
k=1	Picat	50	50	47	35	15	2	0	0	0
	CBS	50	49	42	27	22	7	1	0	0
k=2	Picat	50	49	38	9	0	0	0	0	0
	CBS	50	45	31	6	4	0	0	0	0

Table 6: Number of instances solved within the allocated time out. The grids used are 32x32 4-neighborhood grids with 20% obstacles.

		Cost			Time		
#Agents		10	15	20	10	15	20
k=1	Picat	228.2	337.9	438.9	63.0	97.6	111.3
	CBS	228.2	337.9	438.9	15.1	33.3	249.8
k=2	Picat	228.9	339.7	441.6	88.6	173.8	193.7
	CBS	228.9	339.7	441.6	15.3	107.4	1,455.8

Table 7: Planning cost and planning time. The grids used are 32x32 grids with 20% obstacles.

Dragon Age Map

- ▶ zátěžový test
- ▶ Picat neschopný vyřešit jedinou instanci (min 5 agentů)

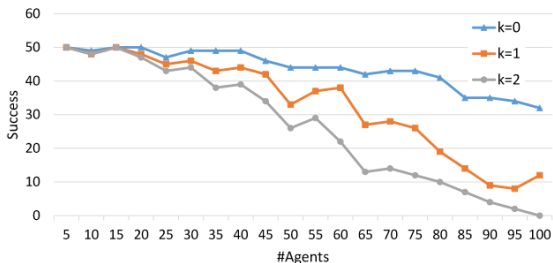


Figure 6: Success rate for kR -CBS over the `brc202d` DAO map.

Obsah

Úvod

Metody robustního plánování

Experimenty a výsledky

Deklarativní přístup

Experimenty a výsledky podruhé

Vykonávání plánu

Závěr

Vynechané

Execution policy (politka výkonu)

- ▶ účelem je reagovat na zpoždění v již prováděném plánu
- ▶ politka je robustní vůči plánu $\pi \Leftrightarrow$
předejde všem kolizím během provádění plánu π
- ▶ zobecnění pojmu *robust plan-execution policy*
(MAPF-DP, 1-robustní plánování)

Execution policy - kdy?

- (1) **Eager.** Modify π immediately when a delay occurs.
- (2) **Reasonable.** Modify π when a delay occurs but only if that delay is expected to cause a conflict later between the delayed agent and some other agent.
- (3) **Lazy.** Modify π only when a conflict is expected to occur in the next time step.

Checking whether a conflict is expected to occur is done by simulating the execution of π from the current vertices of the agents. The logic behind “Reasonable” is that if a conflict is expected to occur then it is best to modify π to avoid it as soon as possible, while the logic behind “Lazy” is that future unexpected delays may resolve expected conflicts even without modifying π earlier.

Execution policy - jak a pro koho?

- **Replan.** Modify π by creating a completely new plan starting from the current time step using a MAPF solver.⁶
- **Repair.** Modify π by performing minor modifications to it.

Repair se pak dál dělí na:

- **All.** All agents that were not delayed in the current time step are forced to wait at the next time step.
- **Selective.** Some of the agents that were not delayed in the current time step are forced to wait at the next time step.

Execution policy - kombinace

- ▶ 9 kombinací
- ▶ Lazy repair ovšem nemusí dávat smysl
spouští se až při konfliktu a zpoždění už mohla proběhnout
- ▶ Lazy repair nebyla implementována, Selektivní politiky nebyly analyzovány
- ▶ předpoklad rozpoznání konfliktu před pohybem
- ▶ MCP - Minimal Communication Policy

Execution policy - experiment 1.

- ▶ experiment s náhodně vynuceným zpožděním
- ▶ pravděpodobnost $p = 0.1, 0.01, 0.001,$
- ▶ síť 8×8 , 20 agentů
- ▶ 0-robustní plány

Execution policy - výsledky 1.

	Cost	#Mod.	Time (ms)	Cost	#Mod.	Time (ms)	Cost	#Mod.	Time (ms)
	Delay probability = 0.001			Delay probability = 0.01			Delay probability = 0.1		
Eager All	111.08	0.26	0	128.33	1.99	0	521.24	27.17	0
Reasonable All	108.51	0.06	0	117.20	0.48	0	282.93	9.11	0
MCP	108.34	0.21	0	111.08	2.79	0	127.88	7.38	0
Eager replan	108.10	0.2	14	108.28	1.04	254	111.17	26.47	27,313
Reasonable replan	108.18	0.08	16	108.56	0.93	975	115.76	11.75	11,332
Lazy replan	108.41	0.08	3	110.22	0.87	387	125.94	3.62	2,471

Table 8: Comparison of the different replanning policies.

Execution policy - experiment 2.

- ▶ měříme vliv robustnosti původního plánu
- ▶ pravděpodobnost $p = 0.1$
- ▶ síť 16x16
- ▶ pouze MCP - balanc ceny, počtu a času přeplánování

Execution policy - výsledky 2.

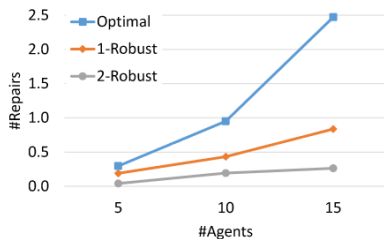


Figure 8: k R-CBS for MCP on the instances succeeded in Table 3 on a 16x16 grid

Obsah

Úvod

Metody robustního plánování

Experimenty a výsledky

Deklarativní přístup

Experimenty a výsledky podruhé

Vykonávání plánu

Závěr

Vynechané

Závěr

- ▶ propozice k-robustního plánování a několika metod řešení
- ▶ Picat je vhodný pro malé sítě s vysokou hustotou populace.
- ▶ CBS vhodný pro velké, řídké mapy.
- ▶ k-robustní plán lze najít v realistickém čase
- ▶ k-robustní plán výrazně snižuje nutnost online přeplánování
- ▶ otevřené problémy pro CBS algoritmus, ICTS, různé k pro různé agenty etc.

Zpožděná komunikace

- ▶ každých T kroků se agenti informují o svém stavu/zpoždění
 - ▶ k -robustnost je "částečně" užitečná
 - ▶ podobně jako EP rozlišuje se eager, reasonable, lazy, T -replan, T -repair
-
- T -All. Let Δ_i be the number of delays agent i experienced in the last T time steps and let Δ_{max} be the maximum over all Δ_i . In a T -All action, each agent needs to wait $\Delta_{max} - \Delta_i$ time steps.
 - T -Selective. This plan repair method is an iterative process that continues as long as there is a T -delay conflict in the current plan π . Let $\langle a_i, a_j, t \rangle$ be such a conflict, and let $\Delta \leq T$ be the Δ for which $\pi_i(t) = \pi_j(t + \Delta)$. The T -selective plan repair action will force agent a_j to wait $T - \Delta$ time steps in its current vertex, thereby resolving the corresponding T -delay conflict.

Zpožděná komunikace - robustnost

Theorem 7.1. *Eager T -replan, reasonable T -replan, and lazy T -replan, are robust for a given communication frequency T w.r.t to an initial plan that is T -robust.*

Theorem 7.2. *Eager T -All, Reasonable T -All, and Reasonable T -Selective, are robust for a given communication frequency $T > 0$ w.r.t to an initial plan that is T -robust.*

Zpožděná komunikace - výsledky

	Cost				Time (ms)			
Delay probability = 0.1								
	T=0	T=2	T=4	T=6	T=0	T=2	T=4	T=6
Eager T-All	89.53	72.12	69.58	73.61	0.00	0.00	0.00	0.00
Reasonable T-All	53.86	56.63	60.43	66.48	0.00	0.00	0.00	0.00
Reasonable T-Selective	48.72	53.03	58.78	66.00	0.00	0.00	0.00	0.00
MCP	48.72	52.31	58.74	65.80	0.00	0.00	0.00	0.00
Eager T-replan	47.57	52.37	58.65	62.96	9.06	13.30	12.36	11.84
Reasonable T-replan	47.53	53.12	58.25	65.85	7.23	9.57	5.68	3.51
Lazy T-replan	47.57	51.94	57.99	65.74	6.07	10.09	11.06	9.64
Delay probability = 0.2								
	T=0	T=2	T=4	T=6	T=0	T=2	T=4	T=6
Eager T-All	220.18	95.56	81.94	84.92	0.00	0.00	0.00	0.00
Reasonable T-All	67.67	68.22	70.33	74.59	0.00	0.00	0.00	0.00
Reasonable T-Selective	55.64	60.55	66.01	72.76	0.00	0.00	0.00	0.00
MCP	55.78	58.67	65.30	72.44	0.00	0.00	0.00	0.00
Eager T-replan	53.23	58.86	64.60	69.31	24.91	25.42	25.19	24.26
Reasonable T-replan	53.35	60.01	64.45	78.91	11.58	16.16	19.80	15.36
Lazy T-replan	53.57	58.63	64.19	71.11	7.08	28.05	37.57	25.58
Delay probability = 0.3								
	T=0	T=2	T=4	T=6	T=0	T=2	T=4	T=6
Eager T-All	651.97	122.80	101.04	100.55	0.00	0.00	0.00	0.00
Reasonable T-All	86.62	84.53	82.72	86.81	0.00	0.00	0.00	0.00
Reasonable T-Selective	65.04	69.28	75.15	81.79	0.00	0.00	0.00	0.00
MCP	64.75	68.80	73.30	81.25	0.00	0.00	0.00	0.00
Eager T-replan	60.99	67.73	71.52	76.62	29.23	37.23	40.85	41.47
Reasonable T-replan	61.14	68.08	72.17	80.16	15.23	23.77	25.59	37.44
Lazy T-replan	61.31	66.91	71.55	80.46	14.43	60.42	63.41	62.77

Table 9: Different replanning policies on instances with 10 agents.